

давления. В области низких давлений отличие «нулевого» приближения от первичного сжатия настолько мало, что позволяет надежно использовать связь  $p - \rho$  для многократных сжатий.

Поступила в редакцию  
18/XI 1971

#### ЛИТЕРАТУРА

1. Современная техника сверхвысоких давлений. М., «Мир», 1964.
2. И. М. Воскобойников, В. М. Богомолов и др. Докл. АН СССР, 1968, 182, 4.
3. И. М. Воскобойников, В. М. Богомолов, А. Я. Алин. ФГВ, 1969, 4.
4. L. M. Varker, C. D. Lundergan. J. Appl. Phys., 1964, 35, 4.

УДК 532.593

## ПРИБЛИЖЕНИЕ КИРКВУДА — БЕТЕ ДЛЯ ЦИЛИНДРИЧЕСКОЙ СИММЕТРИИ ПОДВОДНОГО ВЗРЫВА

B. K. Кедринский  
(Новосибирск)

Решение задачи о распространении цилиндрической ударной волны подводного взрыва основано на использовании приближенного метода, предложенного Кирквудом и Бете и примененного ими при расчете ударных волн для сферических зарядов [1].

#### ОСНОВНЫЕ ПРЕДПОЛОЖЕНИЯ

1. Рассматривается заряд радиуса  $a_0$  бесконечной длины, помещенный в безграничную жидкость.
2. Детонация заряда предполагается мгновенной.
3. Течение жидкости изэнтропично и потенциально, ударная адиабата для жидкости заменяется изэнтропическим уравнением состояния Тэта

$$p + B = B(\rho/\rho_0)^n, \quad (1)$$

где  $p$  — давление в жидкости;  $\rho$  — плотность жидкости;  $B = 3050 \text{ atm}$  и  $n = 7,15$  — постоянные.

4. Начальные условия для продуктов детонации и на границе газовой полости со стороны жидкости определяются из условия распада произвольного разрыва для мгновенной детонации и адиабатичности процесса с показателем адиабаты для продуктов взрыва  $\gamma = 3$ .

5. При определении поведения границы взрывной полости внутренними отражениями волн разрежения, распространяющихся в продуктах взрыва после распада, пренебрегаем.

6. Задача рассматривается в так называемом «пиковом» приближении. Это означает, во-первых, что определение параметров ударной волны производится только в области, близкой к фронту. Во-вторых, на границе полости со стороны жидкости изменение давления  $p$  и энталпии  $\omega$  во времени задается экспоненциальным законом

$$p|_{r=a} = p(0) \cdot e^{-t/\theta_1}, \quad \omega|_{r=a} = \omega(0) \cdot e^{-t/\theta_1}.$$

Постоянная спада экспоненты выбирается из условия правильного начального значения  $\frac{dp}{dt}$ .

## ОПРЕДЕЛЕНИЕ НАЧАЛЬНЫХ УСЛОВИЙ

Для определения начальных условий на границе раздела продукты детонации — жидкость запишем известное соотношение для скоростей частиц газа  $u_1$  и жидкости  $u$  на контактном разрыве

$$u_1 = u = \frac{2C_{01}}{\gamma - 1} \left[ 1 - \left( \frac{p}{p_1} \right)^{\frac{\gamma-1}{2\gamma}} \right] = \sqrt{\frac{p}{p_0} \left[ 1 - \left( \frac{p+B}{B} \right)^{-1/n} \right]}, \quad (2)$$

где  $C_{01}$  и  $p_1$  — средние скорость звука и давление в продуктах мгновенной детонации, которые определяются как

$$C_{01}^2 = \frac{\gamma}{2(\gamma+1)} D^2, \quad p_1 = \frac{\rho_{01} \cdot D^2}{2(\gamma+1)}. \quad (3)$$

Используя уравнения (2), (3) и соотношения

$$\begin{aligned} c_1 &= C_{01} \left( \frac{p}{p_1} \right)^{\frac{\gamma-1}{2\gamma}}, \quad c = C_0 \left( \frac{p}{\rho_0} \right)^{\frac{n-1}{2}}, \\ \omega &= \int_{p_0}^p \frac{dp}{\rho}, \quad \omega_1 = \frac{p}{\rho_1(\gamma-1)} + \frac{p}{\rho_1}, \end{aligned} \quad (4)$$

найдем начальные значения для давления  $p(0)$ , скорости контактного разрыва  $u(0)$ , плотностей  $\rho_1(0)$  и  $\rho(0)$ , скоростей звука  $c_1(0)$  и  $c(0)$ , энталпий  $\omega_1(0)$  и  $\omega(0)$ .

Здесь  $D$  — скорость детонации,  $\rho_{01}$  — начальная плотность заряда,  $c_0$  и  $\rho_0$  — соответственно скорость звука и плотность в невозмущенной жидкости, индекс «1» означает продукты детонации.

В силу «пикового» приближения и адиабатичности постановки задачи легко получить выражение для постоянной спада

$$\theta_1 = -\rho(0) \cdot \omega(0) \cdot \left( \frac{dp}{dt} \right)_{t=0}^{-1}, \quad (5)$$

которое окончательно определяется после преобразования уравнений гидродинамики и использования соответствующих условий на контактном разрыве.

## ИЗЭНТРОПИЧЕСКОЕ ТЕЧЕНИЕ ЖИДКОСТИ

Следуя Кирквуду—Бете, введем в качестве новой переменной кинетическую энталпию  $\Omega = \omega + u^2/2$  и, используя выражение  $\vec{u} = -\nabla\varphi$ , где  $\varphi$  — потенциал скорости, перепишем основные уравнения гидродинамики в виде

$$\Delta\varphi = \frac{1}{c^2} \frac{\partial^2 \varphi}{\partial t^2} - \frac{1}{c^2} \left[ \frac{1}{2} (\vec{u} \nabla) u^2 + \frac{\partial u^2}{\partial t} \right], \quad \frac{\partial \varphi}{\partial t} = \Omega, \quad (6)$$

где  $c^2 = \left( \frac{dp}{d\rho} \right)_S$ .

При этом первое из уравнений системы (6) — уравнение неразрывности — для случая одномерного движения с цилиндрической симметрией

$$\frac{\partial^2 \varphi}{\partial r^2} + \frac{1}{r} \frac{\partial \varphi}{\partial r} - \frac{1}{c^2} \frac{\partial^2 \varphi}{\partial t^2} = -\frac{1}{c^2} \left[ \frac{1}{2} (\vec{u} \nabla) u^2 + \frac{\partial u^2}{\partial t} \right]$$

при введении новой переменной  $\Phi = r^\alpha \varphi$ , где  $\alpha = \text{const}$ , примет вид

$$\begin{aligned} \frac{\partial^2 \Phi}{\partial r^2} - \frac{1}{c^2} \frac{\partial^2 \Phi}{\partial t^2} + \frac{1}{r} \frac{\partial \Phi}{\partial r} (1 - 2\alpha) + \frac{\alpha^2}{r^2} \Phi = \\ = - \frac{r^\alpha}{c^2} \left[ \frac{1}{2} (\vec{u} \nabla) u^2 + \frac{\partial u^2}{\partial t} \right]. \end{aligned} \quad (7)$$

Для несжимаемой жидкости, соответствующей условию  $c \rightarrow \infty$ , имеем простейший вариант уравнения (7)

$$\frac{\partial^2 \Phi}{\partial r^2} + \frac{1}{r} \frac{\partial \Phi}{\partial r} (1 - 2\alpha) + \frac{\alpha^2}{r^2} \Phi = 0,$$

который приводит к решению с логарифмической особенностью на  $\infty$  для безграничной жидкости.

Акустический же вариант уравнения (7), соответствующий условию  $c \rightarrow C_0$ , в силу малости  $u^2$  относительно  $C_0^2$  имеет вид

$$\frac{\partial^2 \Phi}{\partial r^2} - \frac{1}{C_0^2} \frac{\partial^2 \Phi}{\partial t^2} + \frac{1}{r} \frac{\partial \Phi}{\partial r} (1 - 2\alpha) + \frac{\alpha^2}{r^2} \Phi = 0. \quad (8)$$

В асимптотическом приближении (при больших  $r$ ) и особенно при  $\alpha = 1/2$  можно решать уравнения (8) в виде  $\Phi = \Phi(t - r/C_0)$ . Этот результат дает возможность, принимая во внимание второе уравнение системы (6), сказать, что  $G = r^{1/2} \Omega$  распространяется со скоростью  $C_0$ . Однако для волн конечной амплитуды, по аналогии с предположением Кирквуда — Бете, будем считать, что  $G = r^\alpha \Omega$  распространяется с переменной скоростью  $C_2$  [1].

$$\frac{\partial G}{\partial t} + C_2 \frac{\partial G}{\partial r} = 0, \quad (9)$$

где  $C_2 = \left( \frac{\partial r}{\partial t} \right)_\tau = C_2(r, \tau)$ , а  $\tau$  — время, «жестко связанное» с движением газового пузыря. Исследования Рича и Гиннела [1] показали, что даже вблизи заряда возможно применение допущения о перемещении  $G$  со скоростью  $C_2$ , причем, по их мнению,  $\alpha$  должно лежать в диапазоне  $0,4 \div 0,5$ .

Таким образом, система (6) приведена к виду (9), который означает, что если в некоторый момент времени на границе газовой полости определена величина  $G(a, \tau)$ , то тем самым она определена в любой точке жидкости.

### ОПРЕДЕЛЕНИЕ $G(a, \tau)$ , $\theta_1$ И УРАВНЕНИЯ ДВИЖЕНИЯ ГРАНИЦЫ ГАЗОВОЙ ПОЛОСТИ

Подставляя в (9) выражение  $G$  через  $u$  и  $\omega$  и учитывая уравнения

$$\frac{1}{\rho c^2} \frac{dp}{dt} = - \frac{\partial u}{\partial r} - \frac{u}{r}, \quad \rho \frac{du}{dt} = - \frac{\partial p}{\partial r},$$

получаем на стенке газовой полости со стороны жидкости

$$\frac{1}{\rho c} \frac{dp}{dt} = \frac{du}{dt} - \frac{1}{a} \frac{\alpha \left[ \omega - \left( \frac{1}{\alpha} - \frac{1}{2} \right) u^2 \right] (C_2 + u) + 2u^3}{c - u} \quad (10)$$

и со стороны газа

$$\frac{1}{\rho_1 c_1} \frac{dp}{dt} = - \frac{du}{dt} + \frac{1}{a} \frac{\alpha \left[ \omega_1 - \left( \frac{1}{\alpha} - \frac{1}{2} \right) u^2 \right] (c_{21} - u) - 2u^3}{c_1 + u},$$

где  $a$  — радиус газовой полости;  $C_2 = c + u$ ;  $C_{21} = c_1 - u$  и использованы соотношения  $\frac{dp_1}{dt} = \frac{dp}{dt}$  и  $\frac{du_1}{dt} = \frac{du}{dt}$  при  $r = a$  на контактном разрыве.

Исключая из уравнений (10)  $\frac{du}{dt}$ , можем получить выражение для  $\frac{dp}{dt} \Big|_{t=0}$  и определить таким образом значение  $\theta_1$ ,

$$\frac{\theta_1}{a_0} = \frac{\omega [\rho_1 \cdot c_1 + \rho \cdot c]}{\rho_1 \cdot c_1 \cdot c [I_2^0 - I_1^0]},$$

где

$$I_1^0 = \frac{1}{c_1 + u} \left\{ \alpha \left[ \omega_1 - \left( \frac{1}{z} - \frac{1}{2} \right) u^2 \right] (c_{21} - u) - 2u^3 \right\},$$

$$I_2^0 = \frac{1}{c - u} \left\{ \alpha \left[ \omega - \left( \frac{1}{\alpha} - \frac{1}{2} \right) u^2 \right] (c_2 + u) + 2u^3 \right\}.$$

Здесь нулевые индексы для краткости опущены.

Если теперь из уравнений (10) исключить  $dp/dt$  и использовать пи-ковое приближение, легко получить уравнение движения границы цилиндрической полости

$$\frac{du}{d\tau} = \frac{\omega(0) \cdot e^{-\tau/\theta_1} \left[ \alpha + \alpha \frac{u}{c} - \frac{a}{c \cdot \theta_1} \left( 1 - \frac{u}{c} \right) \right] - \frac{2-\alpha}{2} u^2 \left( 1 - \frac{\alpha}{2-\alpha} \frac{u}{c} \right)}{a(1-u/c)}. \quad (11)$$

Решая численно (11), определим  $u(\tau)$ ,  $a(\tau)$ , а следовательно, и  $G(a, \tau) = a^\alpha [\omega(0) \cdot e^{-\tau/\theta_1} + u^2/2]$ .

### ОПРЕДЕЛЕНИЕ КООРДИНАТЫ ФРОНТА УДАРНОЙ ВОЛНЫ И ПОСТОЯННОЙ СПАДА ДАВЛЕНИЯ ЗА ФРОНТОМ

Координата фронта ударной волны определится из выражения

$$\tau = \int_{a_0}^R \frac{dr}{V} - \int_{a(\tau)}^R \frac{dr}{C_2(r, \tau)}, \quad (12)$$

где первый интеграл правой части означает время прихода ударной волны в точку  $R$  ( $V$  — скорость фронта), второй — время задержки, определяемое временем распространения возмущения от границы полости до фронта. Второй интеграл, в силу (9), берется при постоянной  $G(a(\tau_0), \tau_0)$ .

Заменим в выражении  $G$  величину  $u$  на  $\sigma$  [1] — переменную Римана, определяемую выражением

$$\sigma = \int_{\rho_0}^{\rho} c \frac{dp}{\rho} \quad (13)$$

и практически совпадающую с  $u$  в области, близкой к фронту [1]. Используя (13), изэнтропу (1) и известное выражение для скорости фронта ударной волны  $V = C_0 + \frac{n+1}{4} u$ , легко получить

$$\left. \begin{aligned} C_2 &= C + \sigma = C_0 (1 + 2\beta\sigma), \\ V &= C_0 (1 + \beta\sigma), \\ \Omega &= C_0 \sigma (1 + \beta\sigma), \end{aligned} \right\} \quad (14)$$

где  $\beta = \frac{n+1}{4C_0}$ . При этом

$$G(r, t) = r^\alpha \Omega = r^\alpha \cdot C_0 \cdot \sigma (1 + \beta \sigma) = G(a, \tau) = a^\alpha (\tau) \cdot \Omega \cdot (a, \tau), \quad (15)$$

а (12) примет вид

$$\tau = \int_{a_0}^R \frac{dr}{C_0(1 + \beta \sigma)} - \int_{a(\tau)}^R \frac{dr}{C_0(1 + 2\beta \sigma)}. \quad (16)$$

Введем переменную  $x = \frac{G(a, \tau)}{G(a_0, 0)}$  и на основании (15) и выражения для  $\Omega$  в (14) получим

$$\beta \tau = \frac{1}{2} \left[ \sqrt{1 + \frac{4\beta \Omega(a_0)}{C_0}} \cdot x \cdot \left( \frac{a_0}{r} \right)^\alpha - 1 \right].$$

Для более полного решения задачи о распространении цилиндрической ударной волны (в принятой постановке) необходимо определить изменение с расстоянием постоянной спада давления за фронтом. Для этого, зафиксировав границу полости в некоторый момент времени  $\tau_0$  и ограничившись первым членом разложения  $\tau$  по  $\tau_0$  в ряд Тейлора, в области, близкой к фронту, определим связь между масштабами времени для газовой полости и для фронта

$$\tau = \tau_0 + \left( \frac{\partial \tau}{\partial t} \right)_R \cdot (t - t_0) = \tau_0 + \frac{1}{\xi} (t - t_0),$$

где  $t_0$  — момент прихода фронта в точку  $R$ , соответствующий фиксированному  $\tau_0$ . Из (12) легко определить

$$\begin{aligned} \xi &= \left( \frac{\partial \tau}{\partial t} \right)_R = 1 + \frac{\partial}{\partial \tau} \int_{a(\tau)}^R \frac{dr}{c + \sigma} = 1 - \frac{\sigma}{C_0(1 + 2\beta \sigma)} - \\ &- \frac{2\beta \Omega(a_0)}{C_0^2} \frac{\partial x}{\partial \tau} \Big|_{\tau=\tau_0} \int_{a(\tau_0)}^R \frac{(a_0/r)^\alpha dr}{(1 + 2\beta \sigma)^3}. \end{aligned} \quad (17)$$

Интеграл в (17) может быть решен аналитически, а следовательно, при известной связи  $\tau_0$  и  $R$  значение  $\xi$  легко определяется.

Решение уравнений (16) и (17) может быть значительно упрощено при использовании пикового приближения, на основании которого, если  $\omega$  значительно больше  $u^2/2$ , величина  $G(a, \tau)$  может быть определена как  $G = G(a_0) \cdot e^{-\tau/\theta_1}$  и, соответственно  $x = e^{-\tau/\theta_1}$ . При этом для некоторой точки жидкости  $R$ , если время отсчитывать от  $t_0$ , кинетическая энталпия определится выражением

$$\Omega(R, t - t_0) = \frac{G(a, \tau - \tau_0)}{R^\alpha} = \frac{G(a, \tau_0) e^{-\frac{\tau - \tau_0}{\theta_1}}}{R^\alpha} = \left( \frac{a_0}{R} \right)^\alpha \cdot x \cdot \Omega(a_0) \cdot e^{-\frac{t - t_0}{\varepsilon \theta_1}}.$$

Это выражение при использовании соотношений  $\Omega = \omega + \sigma^2/2$ ,

$$\omega = \frac{C_0^2}{n-1} [(\rho/\rho_0)^{n-1} - 1], \quad \sigma = \frac{2C_0}{n-1} \left[ \left( \frac{\rho}{\rho_0} \right)^{\frac{n-1}{2}} - 1 \right]$$

может быть преобразовано к уравнению относительно безразмерного давления во фронте ударной волны  $\delta = \left( \frac{\rho_* + B}{B} \right)^{\frac{n-1}{2n}}$ :

$$\delta^2 - \frac{4}{n+1} \delta - \left[ \frac{(n-1)^2}{C_0^2(n+1)} x \left( \frac{a_0}{R} \right)^\alpha \Omega(a_0) + \frac{n-3}{n+1} \right] = 0.$$

Откуда для давления во фронте ударной волны имеем

$$p_* = B \left\{ \left[ \frac{2}{n+1} + \frac{n-1}{n+1} \sqrt{1 + \frac{4\beta}{C_0} x \Omega(a_0) \cdot \left( \frac{a_0}{R} \right)^\alpha} \right]^{\frac{2n}{n-1}} - 1 \right\}. \quad (18)$$

Таким образом, решение уравнений (11), (16) — (18) при заданных начальных условиях (2) — (5) полностью определяет параметры одномерной цилиндрической ударной волны. Основной проблемой численного решения данной задачи является интегрирование уравнения (16) для определения координаты фронта ударной волны  $R$ , а именно, численного решения первого интеграла его правой части (в выражении  $\beta$  величина  $x$  является неизвестной функцией  $r$ ).

Методов решения уравнения (16) может быть несколько. Например, следя работе [2], по расчету сферических волн конечной амплитуды можно определить только время запаздывания и для фиксированных  $r$  и  $\tau_0$ , используя (15), строить поля  $G(t)$  и соответственно  $p(t)$ .

Эти функции получаются неоднозначными, что физически соответствует образованию ударных волн, положение и амплитуды которых находятся при помощи геометрического условия «равенства площадей» [3].

В настоящей работе координата фронта ударной волны определяется следующим образом. Запишем уравнение (16) для моментов времени  $\tau_1$  и  $\tau_2$ .

$$\begin{aligned} \frac{\tau_1 \cdot C_0}{a_0} &= \int_1^{R_1} \frac{2dr}{\sqrt{1 + Ax_1 r^{-\alpha} + 1}} - \int_{a_1}^{R_1} \frac{dr}{\sqrt{1 + Ax(1) r^{-\alpha}}}, \\ \frac{\tau_2 \cdot C_0}{a_0} &= \int_1^{R_2} \frac{2dr}{\sqrt{1 + Ax_2 r^{-\alpha} + 1}} - \int_{a_2}^{R_2} \frac{dr}{\sqrt{1 + Ax(2) r^{-\alpha}}}, \end{aligned} \quad (19)$$

где, согласно пиковому приближению,  $x(1) = \exp\left(-\frac{\tau_1}{\theta_1}\right)$ ,  $x(2) = \exp\left(-\frac{\tau_2}{\theta_1}\right)$ ,  $x_1$  меняется в пределах  $1 \div e^{-\tau_1/\theta_1}$ , а  $x_2 = 1 \div e^{-\tau_2/\theta_1}$ ,  $A = \frac{4\beta}{C_0} \Omega(a_0)$  и значения  $R$ ,  $r$  и  $a$  берутся уже относительно  $a_0$ .

Представляя первый интеграл второго уравнения как

$$\int_1^{R_2} \frac{2dr}{\sqrt{1 + Ax_2 r^{-\alpha} + 1}} = \int_1^{R_1} \frac{2dr}{\sqrt{1 + Ax_1 r^{-\alpha} + 1}} + \int_{R_1}^{R_2} \frac{2dr}{\sqrt{1 + Ax r^{-\alpha} + 1}},$$

где  $x$  меняется в пределах  $\exp\left(-\frac{\tau_1}{\theta_1}\right) \div \exp\left(-\frac{\tau_2}{\theta_1}\right)$ , и вводя обозначения левых частей уравнений (19) соответственно  $h_1$  и  $h_2$ , получим для их разности

$$h_2 - h_1 = I_1 - I_2 + I_3, \quad (20)$$

где

$$\begin{aligned} I_1 &= \int_{a_1}^{R_1} \frac{dr}{\sqrt{1 + Ax(1) r^{-\alpha}}}; \quad I_2 = \int_{a_2}^{R_1} \frac{dr}{\sqrt{1 + Ax(2) r^{-\alpha}}}; \\ I_3 &= \int_{R_1}^{R_2} \left[ \frac{2}{\sqrt{1 + Ax r^{-\alpha} + 1}} - \frac{1}{\sqrt{1 + Ax(2) r^{-\alpha}}} \right] dr. \end{aligned}$$

Если  $h_2 - h_1 = \Delta h$ , то в выражениях для  $x(1)$  и  $x(2) \frac{\tau}{\theta_1}$  заменяется на  $\frac{h \cdot a_0}{\theta_1 \cdot C_0}$  и  $\frac{(h + \Delta h) a_0}{\theta_1 \cdot C_0}$ .

Уравнение (20) совместно с (11) решалось на ЭВМ, причем при фиксированных  $\Delta h$  ( $h = m \cdot \Delta h$ , где  $m = 0, 1, 2, \dots$ , при  $m=0$  и  $\Delta h \neq 0$ ;  $R_2 = a_1 = a_0$ ) величины  $x(1), x(2)$ , интегралы  $I_1$  и  $I_2$  определены при известных  $a_1, a_2$  из (11) и  $R_1$  — из предыдущего решения. Далее методом шагов при специально подобранных  $\Delta r$  определялось такое  $R_2$ , при котором значение  $I_3$  станет равным  $\Delta h_1 = \Delta h + I_2 - I_1$ . При этом  $x$  в  $I_3$  вычислялось как  $\exp\{- (h + \Delta h \cdot I_3 / \Delta h_1) \cdot a_0 / \theta_1 \cdot C_0\}$ .

Когда связь  $R(x(h))$  определена, из (17) и (18) легко найти  $\zeta(R)$  и  $p_*(R)$ .

### РЕЗУЛЬТАТЫ РАСЧЕТА И СРАВНЕНИЯ С ЭКСПЕРИМЕНТАЛЬНЫМИ ДАННЫМИ

В качестве примера и для сравнения с известными экспериментальными данными [4] были определены параметры ударных волн в области фронта в зависимости от расстояния до заряда для различных ВВ: дш — тэна, тротила, дш — гексогена и насыпного тэна. Начальные параметры задачи для названных ВВ приведены в таблице.

Необходимо отметить, что кроме цилиндрической ударной волны со скоростью  $V$ , одновременно рассчитывалась и скорость  $N$  ударной волны в жидкости в случае конечной скорости детонации  $D$  цилиндрического заряда (инициированного с одной стороны), связанная со скоростью  $V$  соотношением

$$N = V[1 + (V/D)^2]^{-1/2},$$

справедливым, по-видимому, до моментов, когда  $V \rightarrow C_0$ .

На рис. 1 для  $\alpha=0,5$  (1) и  $\alpha=0,4$  (2) приведены изменения давления во фронте ударной волны  $p_*$  в зависимости от приведенных расстояний от заряда  $R^0 = \frac{R}{V^q} m^{3/2}/\text{ккал}^{1/2}$ . При этом для диапазона давлений  $> 2 \cdot 10^3$  атм значение  $p_*$  определялось по значению  $N$ . Рассчитанные значения  $p_*$  на рис. 1 сравниваются с экспериментальными данными (точки) работы [4] для дш — тэна, дш — гексогена и насыпного тэна, где давление в указанном диапазоне определялось по (21) через значение скорости фронта ударной волны. Траектория ударной волны фиксировалась камерой ЖФР через щель, расположенную перпендикулярно оси заряда. В диапазоне  $p_* \leq 2 \cdot 10^3$  атм измерения проводились термалиновыми датчиками.

ВВ	$D, \text{ кг/сек}$	$\rho_{01}, \text{ г/см}^3$	$p_{01}, \text{ atm}$	$C_{01}, \text{ км/сек}$	$\frac{p(0)}{atm}, \text{ кг/сек}^2$	$\frac{u(0)}{atm}, \text{ км/сек}$	$\frac{e(0)}{e/cM^3}, \text{ кДж/см}^3$	$\frac{C_1(0)}{Km/sec}, \text{ км/сек}$	$\frac{C_1(0)}{cM^2/cK^2}, \text{ см}^2/\text{сек}^2$	$\frac{w_1(0)}{cM^2/cK^2}, \text{ см}^2/\text{сек}^2$	$\frac{\theta_1 \cdot a_0}{C_0}, \text{ см}^2/\text{сек}^2$	
										$\alpha=0,5$	$\alpha=0,4$	
Тротил	7	1,59	$9,4 \cdot 10^4$	$4,29 \cdot 10^4$	$3,98 \cdot 10^4$	$1,11 \cdot 10^4$	$1,18 \cdot 10^4$	$1,45 \cdot 10^4$	$3,18 \cdot 10^4$	$4,67 \cdot 10^4$	$5,06 \cdot 10^4$	$3,2 \cdot 10^4$
Дш — тэн	7	1,42	$8,67 \cdot 10^4$	$4,29 \cdot 10^4$	$3,72 \cdot 10^4$	$1,06 \cdot 10^4$	$1,07 \cdot 10^4$	$1,43 \cdot 10^4$	$3,23 \cdot 10^4$	$4,54 \cdot 10^4$	$5,22 \cdot 10^4$	$3,01 \cdot 10^4$
Дш — гексоген	7	1,32	$8,1 \cdot 10^4$	$4,29 \cdot 10^4$	$3,6 \cdot 10^4$	$1,03 \cdot 10^4$	$1,007 \cdot 10^4$	$1,43 \cdot 10^4$	$3,26 \cdot 10^4$	$4,47 \cdot 10^4$	$5,3 \cdot 10^4$	$2,9 \cdot 10^4$
Дш — тэн(насыпной)	5,5	1,00	$3,78 \cdot 10^4$	$3,37 \cdot 10^4$	$1,92 \cdot 10^4$	$0,683 \cdot 10^4$	$0,798 \cdot 10^4$	$2,69 \cdot 10^4$	$3,53 \cdot 10^4$	$3,61 \cdot 10^4$	$1,69 \cdot 10^4$	$1,92 \cdot 10^4$

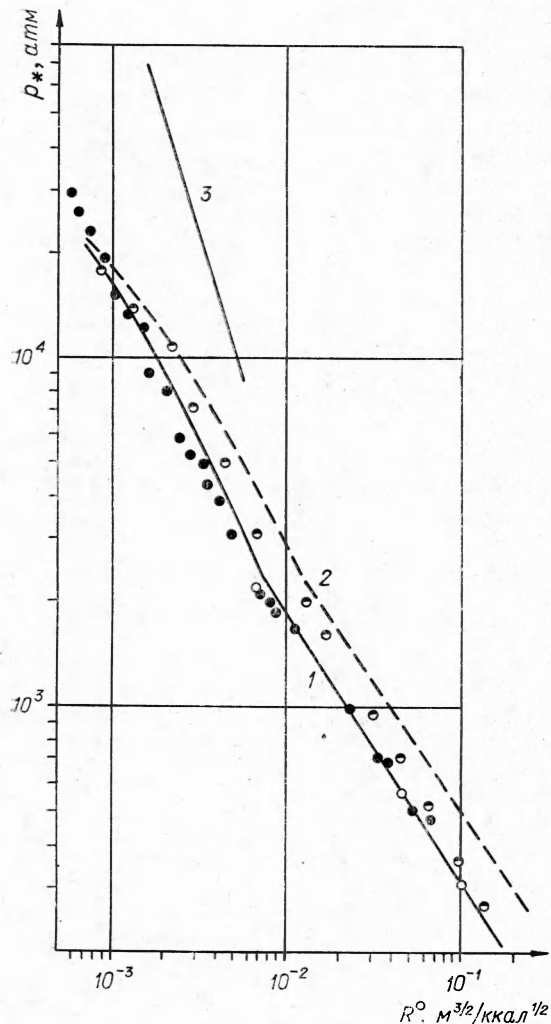


Рис. 1.

Совпадение расчетных данных с экспериментальными в случае  $\alpha=0,5$  удовлетворительное.

Кроме того, на рис. 1, 3 для автомодельного случая показано изменение с расстоянием от заряда давления во фронте ударной волны  $p_* = 0,29 (R^0)^{-2}$  (приведенного по формуле (21) и нанесены данные (точками) расчета Рича и Гиннела для тротила, полученные авторами для случая «*а* немного большего 0,4» [1].

На рис. 2 приведены зависимости (1, 1', 2 и 2') постоянной спада давления за фронтом  $\theta^0 = \frac{\theta}{V^q}$  от расстояния (1 и 2 — соответственно при  $\alpha=0,5$  и 0,4 для насыпного тэна), которые сравниваются с экспериментальными данными (точки) работы [4] для дш — тэна и дш — гексогена.

На основании данных работы [4] и проведенного расчета (см. рис. 1, 2) зависимости давлений  $p_*$  и постоянной спада  $\theta$  для различных расстояний от заряда определяются следующими выражениями:

$$p_* = 9,75 \cdot Q^{0,54} \left( \frac{V^W}{R} \right)^{1,08},$$

$$\theta = \theta_1 \left[ 1 + \frac{\left( R - 10^{-3} \sqrt{\frac{W}{\pi \rho_{01}}} \right) \left( 1,83 \cdot 10^{-6} \cdot \sqrt{\frac{QW}{\theta_1^2}} - 1 \right)}{10^{-3} \sqrt{\frac{W}{\pi \rho_{01}}} (8 \cdot \sqrt{\pi \cdot \rho_{01} \cdot Q} - 1)} \right]$$

для

$$10^{-3} \sqrt{\frac{W}{\pi \rho_{01}}} \leq R \leq 8 \cdot 10^{-3} \sqrt{Q \cdot W},$$

$$p_* = 65,5 \cdot Q^{0,355} \cdot \left( \frac{V^W}{R} \right)^{0,71};$$

$$\theta = 14,6 (Q \cdot W)^{0,235} \cdot R^{0,43} \cdot 10^{-6}$$

для

$$8 \cdot 10^{-3} \sqrt{QW} \leq R \leq 1,4 \sqrt{Q \cdot W}.$$

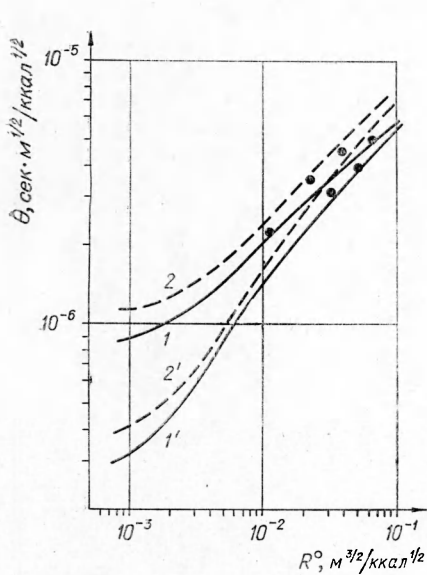


Рис. 2.

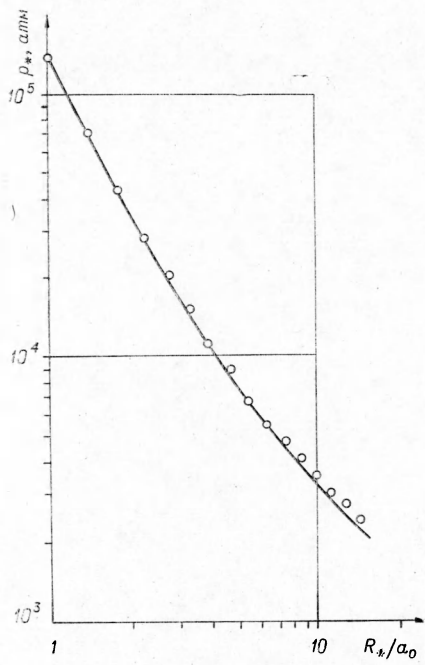


Рис. 3.

Здесь  $Q$  выражено в  $\text{kкал}/\text{г}$ ,  $W$  — в  $\text{г}/\text{м}$ ,  $R$  — в  $\text{м}$ ,  $p_*$  — в  $\text{атм}$ ,  $\theta$  — в  $\text{сек}$ ,  $q$  — в  $\text{kкал}/\text{м}$ ,  $\rho_0$  — в  $\text{г}/\text{см}^3$ .

Представляет интерес также сравнение расчетных по модели Кирквуда—Бете данных с решением задачи путем непосредственного счета на ЭВМ основных уравнений гидродинамики.

В связи с этим на рис. 3 представлен результат известного расчета (точки) методом характеристик системы уравнений гидродинамики при условии цилиндрической симметрии, инициирования детонации в центре шнурового заряда, определения начальных условий из распада произвольного разрыва в момент падения детонационной волны на границу раздела ВВ — жидкость и при условии адиабатического (с показателем  $\gamma=3$ ) расширения продуктов детонации тротила. Для аналогичных начальных условий на основе приближения Кирквуда — Бете был произведен по описанной схеме расчет (кривая на рис. 3) изменения давления во фронте ударной волны с расстоянием от заряда (расстояние взято относительно начального радиуса заряда). При этом энтальпия на границе газовой полости со стороны жидкости определялась уже не из условия пикового приближения, а на основе адиабатичности расширения продуктов детонации.

Совпадение приведенных на рис. 3 данных дает основание считать приближение Кирквуда — Бете (и выбранный метод расчета уравнения 16) удовлетворительным.

Поступила в редакцию  
6/X 1971

#### ЛИТЕРАТУРА

1. Р. Коул. Подводные взрывы. М., ИЛ, 1950.
2. В. А. Акуличев, Ю. Л. Богуславский и др. Акустический журнал, 1967, 13, 3.
3. Л. Д. Ландау, Е. М. Лифшиц. Механика сплошных сред. М., 1954.
4. Б. Д. Христофоров, Э. А. Широкова. ПМТФ, 1962, 5.